

## PAPER DETAILS

TITLE: Fe<sub>3</sub>O<sub>4</sub>/FeO/CoNi kompozit malzemenin sentezi ve manyetik özelliklerinin incelenmesi

AUTHORS: Muharrem KUNDURACI

PAGES: 56-59

ORIGINAL PDF URL: <https://dergipark.org.tr/tr/download/article-file/657398>



## **Fe<sub>3</sub>O<sub>4</sub>/FeO/CoNi kompozit malzemenin sentezi ve manyetik özelliklerinin incelenmesi**

## **Synthesis of Fe<sub>3</sub>O<sub>4</sub>/FeO/CoNi composite material and study of its magnetic properties**

Muharrem KUNDURACI<sup>1\*</sup>

<sup>1</sup>Makine Mühendisliği, Mühendislik Fakültesi, Türk Hava Kurumu Üniversitesi, Ankara, Türkiye.  
kunduraci.m@hotmail.com

Geliş Tarihi/Received: 24.02.2018, Kabul Tarihi/Accepted: 11.06.2018  
\* Yazışan yazar/Corresponding author

doi: 10.5505/pajes.2018.84704  
Araştırma Makalesi/Research Article

### Öz

Fe<sub>3</sub>O<sub>4</sub>/FeO/CoNi kompozit malzemesi iki aşamalı proses kullanılarak üretilmiştir. Birinci aşamada, oksit prekürsörü (öncülmalzeme) ıslak sentez esaslı Pechini yöntemi kullanılarak düşük sıcaklıkta üretilmiştir. İkinci aşamada prekürsör malzemesi 500, 600, 700 veya 800 °C ye hidrojen gazı altında ısıtılarak indirgenmiştir ve metal/oksit kompozit malzemesi elde edilmiştir. Farklı sıcaklıklarda üretilen malzemelerin yapısal, morfolojik ve manyetik özellikleri X-ışını kırmızı, tarama elektron mikroskopu ve titreşen örnek manyetometresi kullanılarak incelenmiştir. 600 °C den 700 °C ye geçişte manyetik özelliklerde ani değişiklikler gözlenmiştir. Doygunluk mıknatıslanması iki katına çıkarken, koersif kuvvet yarıya inmişir. Bu değişiklikler manyetik CoNi fazın amorf bir yapıdan kristal bir yapıya geçişyle ve Fe<sub>3</sub>O<sub>4</sub> fazın parçacık boyutunun yaklaşık olarak iki katına artmasıyla açıklanmıştır.

**Anahtar kelimeler:** Yumuşak manyetik kompozit, Hidrojen indirgeme, Pechini

### Abstract

Fe<sub>3</sub>O<sub>4</sub>/FeO/CoNi composite materials were produced using a two-step process. In the first step, oxide precursor was produced at low temperature by wet-synthesis based Pechini method. In the second step, the precursor was heated to 500, 600, 700 or 800 °C under reducing hydrogen gas and metal/oxide composite material was obtained. The structural, morphological and magnetic properties of materials produced at different temperatures were investigated using X-ray diffraction, scanning electron microscope and vibrating sample magnetometer. Sudden changes in magnetic properties were observed during transition from 600 °C to 700 °C. The saturation magnetization doubled while coercive force was halved. These changes were explained with the crystallization of magnetic CoNi phase from an amorphous state and nearly doubling of particle size of Fe<sub>3</sub>O<sub>4</sub> phase.

**Keywords:** Soft magnetic composite, Hydrogen reduction, Pechini

## 1 Giriş

Metal/oksit kompozit malzemeler elektriksel ve manyetik özellikleri sayesinde bilimsel anlamda ilginç teknolojik olarak da çok önemli bir malzeme grubunu oluşturmaktadır. Kullanım alanları arasında elektrokimyasal enerji depolama [1]-[3], katalizörler [4]-[6], manyetik soğutma [7] ve soğurma [8] gösterilebilir. Elektrokimyasal uygulamalarda oksit malzeme Li<sup>+</sup>, H<sup>+</sup> veya O<sup>2-</sup> gibi iyonları ileterek özgül kapasiteye katkı sağlarken metalik malzeme yüksek elektron iletkenliği sayesinde elektrokimyasal aktiviteyi artırmaktadır. Manyetik uygulamalarda ise benzer bir görev paylaşımından bahsedilebilir. Yumuşak manyetik kompozitlerde (YMK), manyetik metal veya alaşım malzemesi daha yüksek mıknatıslanmaya ve manyetik geçirgenliğe sahipken manyetik oksit malzemesi düşük elektron iletkenliği sayesinde manyetik ve dielektrik kayipları azaltmaktadır.

Yumuşak manyetik oksitler arasında ferrit (Fe<sub>3</sub>O<sub>4</sub>) esaslı malzemeler yüksek doygunluk mıknatıslanması, düşük elektron iletkenliği ve ucuz maliyeti nedenleriyle büyük ilgi görmektedir. Tek fazlı veya metal/ferritkompozit yapılı malzemelerin manyetik özellikleri sentez koşullarına ve kimyasal bileşime göre büyük değişiklikler göstermektedir. Örneğin, FeSi/MnZnFe<sub>2</sub>O<sub>4</sub>kompozit malzemenin manyetik özelliklerinin ferrit miktariyla değiştiği gözlenmiştir [9]. FeO/Fe<sub>3</sub>O<sub>4</sub>kompozit malzemelerin manyetik özelliklerinin parçacık boyutuna, FeO miktarına ve iki faz arasındaki yapıya bağlı olduğu belirtilmiştir [10]. Co<sub>1-x</sub>Ni<sub>x</sub>Fe<sub>2</sub>O<sub>4</sub> malzemesinde doygunluk mıknatıslanmanın ve geçirgenliğin artan nikel

miktariyla azaldığı tespit edilmiştir [11]. Hidrotermal yöntem kullanılarak elde edilen nano yapılı Co<sub>2</sub>FeAl alaşımının doygunluk mıknatıslanmanın sentez sıcaklığı ile arttığı rapor edilmiştir [12]. Bu nedenle, sentez koşullarının doğru ayarlanması ve kontrol edilmesi son derece önemlidir.

Metal/oksit kompozit malzeme üretmek için çok sayıda yöntem mevcuttur. Bu yöntemler arasında döküm [13], seçiçi korozyon [14], kimyasal indirgenme [15], elektrokaplama [16] ve yüksek enerjili dövme [17] işlemlerinden bahsedilebilir. Bu makalede demir, kobalt ve nikel içeren oksit prekürsör malzemeleri önce Pechini yöntemi kullanılarak sentezlenmiş sonrasında yüksek sıcaklıklarda hidrojen gazı kullanılarak indirgenmiş ve Fe<sub>3</sub>O<sub>4</sub>/FeO/CoNi YMK malzemeleri üretilmiştir. İndirgenme sıcaklığının kompozit malzemenin faz yapısına ve manyetik özelliklerine etkisi incelenmiştir.

## 2 Materyal ve metot

Fe<sub>3</sub>O<sub>4</sub>/FeO/CoNi kompozit malzemeleri iki aşamada sentezlenmiştir. Birinci aşamada demir nitrat, kobalt nitrat ve nikel nitrat tuzları (Alfa Aesar,>%99) 1:1:1 mol oranlarında tartılıp asgari miktarda arıtlı su içerisinde çözündüler. İkinci bir cam beher kapta sitrik asit 120 °C de ısıtıcı ve karıştırıcı tabla üzerinde etilen glikol içerisinde çözülmüştür. Daha sonra, nitrat çözeltisi damla damla ikinci kaba aktarılmıştır. Tamamı aktarıldıktan sonra karışım esterifikasyon işleminin gerçekleşmesi için 150 °C ye ısıtılmıştır. İşlem sonunda katılan toz numune 500 °C de tüp fırın içerisinde havada yakılmıştır. Böylelikle organik malzemelerin tamamının yanması sağlanmıştır ve metal oksit

prekürsör sentezlenmiştir. İkinci aşamada prekürsör malzeme 4 eşit parçaya bölünmüştür. Malzemeler %5 hidrojen içeren argon gazi karışımı altında 500, 600, 700 veya 800 °C'ye isıtılmıştır ve 1 sa. sabit sıcaklıkta bırakılmıştır. Malzemeler oda sıcaklığına firının doğal soğuma hızında soğutulmuştur.

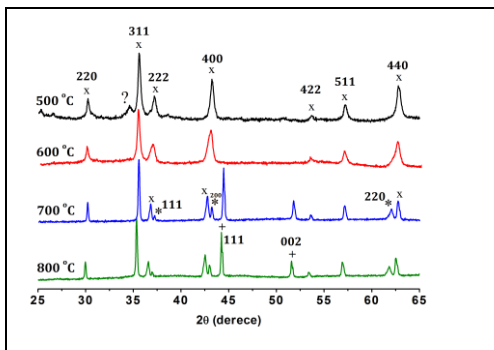
Kompozit malzemelerin parçacık boyutları tarama elektron mikroskopu (SEM, FEI-Quanta 200 FEG) kullanılarak gözlemlenmiştir. Aynı ünite kullanılarak Enerji Dağılım Spektroskopisi (EDS) element analizi gerçekleştirilmiştir. Malzemeler içerisindeki kristal fazlı yapılar Panalytical X'pert Multi-Purpose X-ışını kırınımı cihazı kullanılarak tespit edilmiştir. Bragg-Brentano geometrisi ( $\text{Cu K}_\alpha$  radiation,  $\lambda = 0.15418 \text{ nm}$ ) kullanılmıştır ve  $2\theta=15-70^\circ$  aralığı taranmıştır. Malzemelerin manyetik histeresis eğrileri oda sıcaklığında -2 ve 2 Tesla aralığında titreşen örnek manyetometresi (VSM) kullanılarak elde edilmiştir. Tanecik boyutları Scherrer denklemi kullanılarak hesaplanmıştır.

$$D = \frac{0.9 \cdot \lambda}{\beta \cdot \cos\theta} \quad (1)$$

Burada,  $\lambda$  (1.5405 Å) X-ışını dalgaboyu,  $\beta$  maksimum yarı genişlik (FWHM) açısı,  $\theta$  Bragg açısı ve  $D$  ortalama tanecik büyülüğüdür.

### 3 Sonuçlar

Farklı sıcaklıklarda ısıtılan malzemelerin X-ışını kırınımı desenleri Şekil 1'de verilmiştir.



Şekil 1: Farklı sıcaklıklarda sentezlenen metal/oksit malzemelerin X-ışını kırınımı desenleri. Semboller (x), (\*) ve (+) sırasıyla  $\text{Fe}_3\text{O}_4$ ,  $\text{FeO}$  ve  $\text{CoNi}$  fazlarına ait pikleri temsил etmektedir.

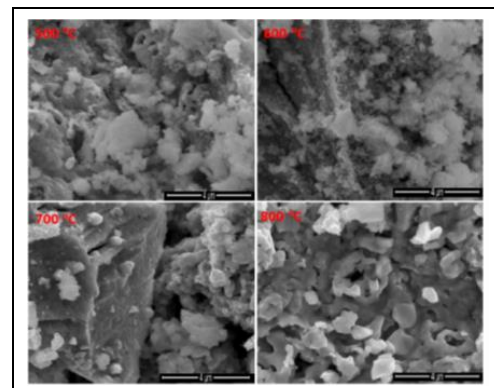
Desenleri iki gruba ayırarak incelemek uygun görülebilir; 500 ve 600 °C'de sentezlenenler ile 700 ve 800 °C'de sentezlenenler. İlk grupta iki kristal faz gözlemlenmiştir. Bunlar spinel yapılı kübik Fd-3m gruba ait  $\text{Fe}_3\text{O}_4$  (PDF No: 98-002-8664) ve kaya tuzu yapılı kübik  $\text{FeO}$  fazlarındır.  $\text{Fe}_3\text{O}_4$  fazına ait piklerin daha yüksek yoğunlukta oldukları görülmektedir. X-ışını kırınımı verisinden anlaşılması zor olan da  $\text{FeO}$  fazının  $\text{Fe}_3\text{O}_4$  yüzeylerin üzerinde kaplamış olduğu varsayılmaktadır. Bu varsayılmış ıslık işleminin yapıldığı ortamın indirgeyici özellikle olmasına dayanmaktadır. Yani indirgeyici gazla temas halinde olan yüzeyler  $\text{FeO}$  oluştururken altındaki yapılar  $\text{Fe}_3\text{O}_4$  olarak kalmaktadır. Öte yandan, kobalt ve nikel elementlerine ait herhangi bir faz görülmemektedir. Bu gözlemden kobalt ve nikel elementlerin amorf bir yapıda oldukları ileri sürülebilir. ıslık işlem sıcaklığı 700 °C'ye çıkartıldığında ise desende ani değişimler görülmektedir. Bunlardan en belirginini  $\text{CoNi}$  (PDF No: 98-010-8308) fazına ait (111) ve (002) piklerin ortaya çıkılmalarıdır. Diğer bir değişiklik ise  $\text{Fe}_3\text{O}_4$  ve  $\text{FeO}$  fazlarının daha

keskin ve dar hal almalarıdır. Scherrer denklemi kullanılarak  $\text{Fe}_3\text{O}_4$  fazın tanecik boyutları şöyle hesaplanmıştır; 500 ve 600 °C'de sentezlenenler 30 nm 700 ve 800 °C'de sentezlenenler 48 nm. Bunun nedenleri artan sıcaklıkla kristal yapılardaki hataların azalması ve atomların hareketliliğinin artmasıdır. Ortaya çıkan bu  $\text{Fe}_3\text{O}_4/\text{FeO}/\text{CoNi}$  kompozit yapının aynı 800 °C'ye ısıtılan malzemede de görülmektedir. Sonuç olarak diyebiliriz ki indirgeyici hidrojen gazi altında yüksek sıcaklıklara ısıtıldığında demir elementi  $\text{Fe}_3\text{O}_4$  ve  $\text{FeO}$  olarak, kobalt ve nikel ise metallik durumda var olmaktadır. Bunu açıklamak için Ellingham diyagramına bakmak faydalı olacaktır.

Ellingham diyagramına göre 500-800 °C aralığında 2 ve 3 No.lu tepkimeler 4 No.lu tepkimenin yukarısında yer almaktadır. Termodinamik kurallara göre bu durum hidrojen gazının  $\text{NiO}$  ve  $\text{CoO}$  fazları sırasıyla nikel ve kobalt metallere indirgeyebileceği anlamlı taşımaktadır. Benzer ama ters şekilde 5 No.lu tepkime 4 No.lu tepkimenin aşağısında kaldığı için demir oksit hidrojen gazi kullanılarak metalik duruma indirgenmemektedir. Bütün bunlar X-ışını kırınımı verileri ile tutarlıdır.



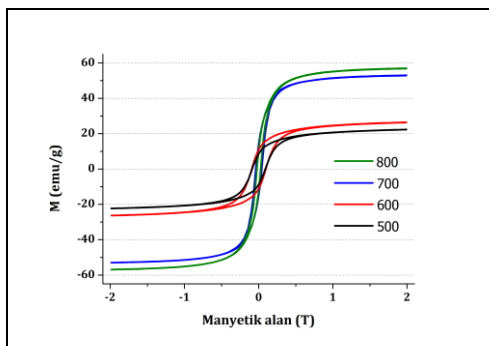
Farklı sıcaklıklarda üretilen kompozit malzemelerin mikro yapıları tarama elektron mikroskopu ile incelenmiştir. Aynı büyülüklükteki alanlardan çekilmiş fotoğraflar Şekil 2'de gösterilmektedir. Her resimde koyu renkle gözüken bölgeler demir oksit malzemeye açık renkli bölgeler ise kobalt ve nikel elementleri içeren malzemeye aittir (Ek A). Resimler arasında göze çarpan en büyük fark, 500 ve 600 °C'de görünen açık kesimler yaygın ve amorf bir yapı gibi görünürken, 700 ve 800 °C'deki aynı kesimler daha toparlak ve kristalleşmiş bir hal almıştır. X-ışını kırınımı desenleri düşünüldüğünde,  $\text{CoNi}$  kristal parçacıkların oluşumu tarama elektron mikroskopu ile takip edilebilmektedir.



Şekil 2: Farklı sıcaklıklarda sentezlenen  $\text{Fe}_3\text{O}_4/\text{FeO}/\text{CoNi}$  kompozit malzemelerin tarama elektron mikroskopu kullanılarak çekilmiş fotoğrafları.

Parçacıklar içerisindeki demir, kobalt ve nikel metallerin atomik yüzdesinin istenen seviyede olup olmadığını tespit etmek için EDS analizi gerçekleştirilmiştir. Bu analizden elde edilen desen Ek B'de sunulmuştur. Üç metaliin atomik oranları şöyle hesaplanmıştır;  $\text{Fe}/\text{Co}/\text{Ni}=0.35/0.36/0.29$ . Bu sonuçlar sentez öncesinde hedeflenen rakamlarla uyum içerisindeidir.

Sentezlenen malzemelerin 25 °C'deki manyetik histeresis eğrileri titreşen örnek manyetometresi kullanılarak ölçülmüştür ve sonuçlar Şekil 3'te verilmektedir.



Şekil 3: Farklı sıcaklıklarda sentezlenen  $\text{Fe}_3\text{O}_4/\text{FeO}/\text{CoNi}$  kompozit malzemelerin manyetik histeresis eğrileri.

Öncelikle bütün malzemelerin ferri veya ferromagnetic özellik österdiklerini belirtmek gerekmektedir. X-ışını kırınımı sonuçlarına benzer bir değişim burada da gözlenmektedir. 500 ve 600 °C'de sentezlenen malzemelerin eğrileri birbirine yakınlıkta aynı şeyi 700 ve 800 °C'dekiler için söylemek mümkündür. Histeresis eğrilerinden çıkarılan bazı parametreler Tablo 1'de özetlenmiştir.

Tablo 1: Farklı sıcaklıklarda sentezlenen malzemelerin histeresis eğrilerinden elde edilen bazı manyetik özelliklerini.

Sentez Sıcaklığı (°C)	Doygunluk Mıknatışlanması (emu/g)	Kalıcı Mıknatışlanması (emu/g)	Koersif Kuvvet (Oe)
500	22	8.5	875
600	26	11	980
700	53	14	415
800	57	12	265

Doygunluk mıknatışlanması (emu/g) sentez sıcaklığıyla artmaktadır. Bunun iki temel nedenleri olarak kompozit malzemeler içerisindeki fazların kristal yapısının iyileşmesi ve tanecik boyutlarının büyümESİ olarak gösterilebilir. Ancak, 600 ve 700 °C'de üretilen malzemeler arasındaki büyük farkı (26 emu/g vs. 53 emu/g) bunlarla açıklamak için pek yeterli olmayacağından. Bu ani artışa kristal yapıyı  $\text{CoNi}$  fazının oluşumu en yüksek olasılıklı neden olarak gösterilebilir. Gerçekten de  $\text{CoNi}$  alaşımları ferromagnetic özellik göstermektedir [18]. Elde edilen maksimum doygunluk mıknatışlanması değeri (57 emu/g) literatürde benzer malzemelerden elde edilen değerlerin biraz altındadır [18]-[20]. Bunun temel nedeni olarak burada sentezlenen malzemelerdeki taneciklerin herhangi bir yönde anizotropi göstermemeleri ile açıklanabilir. Malzemelerin histeresis eğrilerinden çıkarılabilen diğer bir sonuç ise koersif kuvvetin 500 ve 600 °C'de sentezlenen malzemelerde daha yüksek olmasıdır. Bu davranışın malzemelerin parçacık yapıları ile bağlantılı olduğu belirtilmiştir [21]. Bu açıklamaya göre, manyetik parçacıkların üzerinde bulunan ve manyetik olmayan yapılar domen hareketliliğini engelleyip koersiviteyi artırılmaktadır. Tarama elektron mikroskopu fotoğraflarında da net bir şekilde görüldüğü gibi manyetik  $\text{Fe}_3\text{O}_4$  fazın manyetik olmayan amorf  $\text{CoNi}$  parçacıklar tarafından çevrildiği düşünüldüğünde, 500 ve 600 °C'de sentezlenen malzemelerin daha yüksek koersif kuvvetle sahip olmaları böyle açıklanabilir. İkinci bir açıklamaya göre, koersif kuvvet parçacık boyutıyla ters orantılıdır. Yüksek sıcaklıklarda

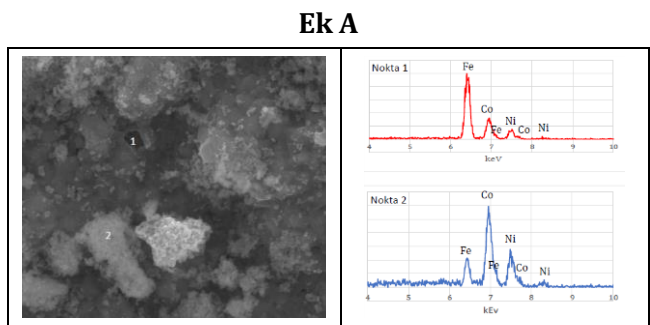
(700 ve 800 °C'de) sentezlenen malzemelerin kristal boyutları daha büyük olduğundan koersif kuvvetleri azalmaktadır [22].

$\text{Fe}_3\text{O}_4/\text{FeO}/\text{CoNi}$  kompozit malzemeleri indirgeyici hidrojen gazı kullanılarak 500, 600, 700 ve 800 °C'de sentezlenmiştir. Toz malzemelerin kimyasal, fiziksel ve manyetik özellikleri X-ışını kırınımı, tarama elektron mikroskopu ve titreşimsiz örnek manyetometresi kullanılarak incelenmiştir. İncelemeler sonunda, 500 ve 600 °C'deki malzemeler ile 700 ve 800 °C'deki malzemelerin kendi aralarında benzer özellikler gösterdiği tespit edilmiştir. Isı işlem sıcaklığı 600 °C'den 700 °C'ye çıkartıldığında tanecik boyutlarında ani bir artış ve  $\text{CoNi}$  fazın amorf bir yapıdan kristal bir yapıya döndüğü gözlenmiştir. Bu değişimler manyetik sonuçları açıklamada kullanılmıştır. Manyetik histeresis eğrilerinden tüm malzemelerin yumuşak ferromanyetik özellik gösterdiği sonucu çıkarılmıştır.

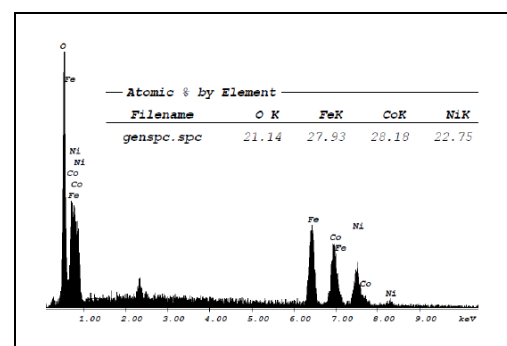
#### 4 Kaynaklar

- [1] Tang Y, Zhang H, Li J, Hou G, Cao H, Wu L, Zheng G, Wu Q. "Three-dimensional macroporous Cu/ $\text{Fe}_3\text{O}_4$  composite as binder-free anode for lithium-ion batteries". *Journal of Alloys and Compounds*, 719, 203-209, 2017.
- [2] Xu G, Shi J, Dong W, Wen Y, Min X, Tang A. "One pot synthesis of a Ni/ $\text{Mn}_3\text{O}_4$  nanocomposite for supercapacitors". *Journal of Alloys and Compounds*, 630, 266-271, 2015.
- [3] Awan Z, Ghouri Z.K., Hashmi S. "Influence of Ag nanoparticles on state of the art  $\text{MnO}_2$  nanorods performance as an electrocatalyst for lithium air batteries". *International Journal of HydrogenEnergy*, 43(5), 2930-2942, 2018.
- [4] Ouyang B, Xiong S, Zhang Y, Liu B, Li J. "The study of morphology effect of Pt/ $\text{Co}_3\text{O}_4$  catalysts for higher alcohol synthesis from  $\text{CO}_2$  hydrogenation". *Applied Catalysis A: General*, 543, 189-195, 2017.
- [5] Zhou W, Liu J, Wu X, Chen J, Zhang Y. "An effective Co/ $\text{MnO}_x$  catalyst for forming light olefins via Fischer-Tropsch synthesis". *Catalysis Communications*, 60, 76-81, 2015
- [6] Kaskow I, Decyk P, Sobczak I. "The effect of copper and silver on the properties of Au/ $\text{ZnO}$  catalyst and its activity in glycerol oxidation". *Applied Surface Science*, 444, 197-207, 2018.
- [7] Prabhakaran T, Mangalaraja R.V., Denardin J.C. "The structural, magnetic and magnetic entropy changes on  $\text{CoFe}_2\text{O}_4/\text{CoFe}_2$  composites for magnetic refrigeration application". *Journal of Magnetism and Magnetic Materials*, 444, 297-306, 2017.
- [8] Li Y, Wu T, Jin K, Qian Y, Qian N, Jiang K, Wu W, Tong G. "Controllable synthesis and enhanced microwave absorbing properties of  $\text{Fe}_3\text{O}_4/\text{NiFe}_2\text{O}_4/\text{Ni}$  heterostructure porous rods". *Applied Surface Science*, 387, 190-201, 2016.
- [9] Lauda M, Füzer J, Kollar P, Streckova M, Bures R, Kovac J, Batkova M, Batko I. "Magnetic properties and loss separation in  $\text{FeSi}/\text{MnZnFe}_2\text{O}_4$  soft magnetic composites". *Journal of Magnetism and Magnetic Materials*, 411, 12-17, 2016.
- [10] Lak A, Kraken M, Ludwig F, Kornowski A, Eberbeck D, Sievers S, Litterst F, Weller H, Schilling M. "Size-dependent structural and magnetic properties of  $\text{FeO}-\text{Fe}_3\text{O}_4$  nanoparticles". *Nanoscale*, 5, 12286-12295, 2013.

- [11] Xiang J, Chu Y, Shen X, Zhou G, Guo Y. "Electrospinning preparation, characterization and magnetic properties of cobalt-nickel ferrite ( $\text{Co}_{1-x}\text{Ni}_x\text{Fe}_2\text{O}_4$ ) nanofibers". *Journal of Colloid and Interface Science*, 376, 57-61, 2012.
- [12] Yang F, Liu D, Li W, Xiong P, Jia Y, Chen X, Yang C. "Morphology, microstructure and magnetic properties of  $\text{Co}_2\text{FeAl}$  alloy nanostructures prepared at low temperature". *Journal of Alloys and Compounds*, 735, 1206-1210, 2018.
- [13] Hautcoeur D, Lorgouilloux Y, Leriche A, Gonon M, Nait-Ali B, Smith D, Lardot V, Cambier F. "Thermal conductivity of ceramic/metal composites from preforms produced by freeze casting". *Ceramics International*, 42 (12), 14077-14085, 2016.
- [14] Song Y, Zhang X, Yang S, Wei X, Sun Z. "Electrocatalytic performance for methanol oxidation on nanoporous  $\text{Pd}/\text{NiO}$  composites prepared by one-step dealloying". *Fuel*, 181, 269-276, 2016.
- [15] Zhang M, Zhen Y, Sun F, Xu C. "Hydrothermally synthesized  $\text{SnO}_2$ -graphene composites for  $\text{H}_2$  sensing at low operating temperature". *Materials Science and Engineering B*, 209, 37-44, 2016.
- [16] Xia F, Jia W, Ma C, Wang J. "Synthesis of Ni-TiN composites through ultrasonic pulse electrodeposition with excellent corrosion and wear resistance". *Ceramics International*, 44(1), 766-773, 2018.
- [17] Gupta R, Fabijanic D, Zhang R, Birbilis N. "Corrosion behaviour and hardness of in situ consolidated nanostructured Al and Al-Cr alloys produced via high-energy ball milling". *Corrosion Science*, 98, 643-650, 2015.
- [18] Lu W, Sun D, Yu H. "Synthesis and magnetic properties of size-controlled CoNi alloy nanoparticles". *Journal of Alloys and Compounds*, 546, 229-233, 2013
- [19] Prasad C, Sreenivasulu K, Gangadhara S, Venkateswarlu P. "Bioinspired green synthesis of  $\text{Ni}/\text{Fe}_3\text{O}_4$  magnetic nanoparticles using *Moringa oleifera* leaves extract: A magnetically recoverable catalyst for organic dye degradation in aqueous solution". *Journal of Alloys and Compounds*, 700, 252-258, 2017.
- [20] Marinca T, Chicinas H, Neamtu B, Isnard O, Chicinas I. "Structural, thermal and magnetic characteristics of  $\text{Fe}_3\text{O}_4/\text{Ni}_3\text{Fe}$  composite powder obtained by mechanosynthesis-annealing route". *Journal of Alloys and Compounds*, 652, 313-321, 2015.
- [21] Yücel Birol. "MMM2402 Malzeme Bilimi". <http://slideplayer.biz.tr/slide/3034629/> (02.02.2018).
- [22] Shokrollahi H, Janghorban K. "Soft magnetic composite materials". *Journal of Materials Processing Technology*, 189, 1-12, 2007.



Ek A1: İki farklı noktadan alınan SEM-EDS analiz spektralleri (4-10 keV aralığında). Koyu renkli bölgeler demir zengin (kobalt ve nikel fakir) açık renkli bölgeler ise demir fakir (kobalt ve nikel zengin).



Ek B1: 800 °C'de sentezlenen  $\text{Fe}_3\text{O}_4/\text{FeO}/\text{CoNi}$  kompozit malzemenin SEM-EDS analiz spektrasi. Sentez aşamasında prekürsör malzeme 4 eşit parçaya bölündüğü için Fe/Co/Ni oranları diğer 3 malzemede de benzerdir.



Ek C1: 800 °C'de sentezlenen malzemenin mıknatışlanması.